

В. И. ЕМЕЛЬЯНОВ

## К ТЕОРИИ ВЫНУЖДЕННОГО КОМБИНАЦИОННОГО РАССЕЯНИЯ СВЕТА НА ПОЛЯРИТОНАХ

На основе флуктуационно-диссипационного подхода рассмотрено стационарное комбинационное рассеяние света на поперечных поляритонах (ВКРП) во всей области волновых векторов и частот поляритонов, включая фоновый резонанс. В эффективном уравнении для медленной амплитуды стоксовой волны кроме линейного (равновесного) источника флуктуаций поляризации среды учтен также нелинейный (неравновесный) источник, определяющий ВКРП вблизи резонанса. Общая формула для выходной мощности подробно рассмотрена в резонансной области. Показано, что полученные выражения описывают последовательный переход от ВКРП к ВКР на поперечных оптических фотонах.

В предыдущей работе [1] было рассмотрено спонтанное рассеяние на поперечных поляритонах (СРП) во всей области поляритонных частот  $\omega_2$ , включая фоновый резонанс ( $\omega_i$ ). Настоящая работа является продолжением [1] и посвящена рассмотрению вынужденного рассеяния на поперечных поляритонах (ВКРП).

Стационарная теория ВКРП для ограниченной области частот развивалась в ряде работ (см. [2] и приведенную там литературу).

Основной задачей теории ВКРП является вычисление частотно-углового распределения мощности света на выходе из усиливающей среды. Этот расчет был приведен в работе [2] при условии, что  $\omega_2$  далека от  $\omega_i$ .

Отдельно исследован также резонансный случай  $\omega_2 = \omega_i$  при больших значениях волнового вектора поляритона —  $\vec{K}_2$  (ВКР на поперечных оптических фотонах (ВКРП) [3, 4]). Вместе с тем отсутствует общее рассмотрение ВКРП, справедливое во всей области  $\omega_2, \vec{K}_2$ .

Для решения этой задачи требуется определение квантовых источников флуктуаций поляризации среды. В роли их выступают прежде всего источники флуктуации линейной поляризации. Они определяют ВКРП вдали от фонового резонанса. Такие источники использовались в работе [2].

Кроме того, при действии на нецентросимметрическую среду среднего поля накачки в ней возникают дополнительные (неравновесно-нелинейные) источники. Именно эти дополнительные источники определяют ВКРП в окрестности резонанса. В частности, как показано в [1],

вклад от нелинейного источника флуктуаций поляризации в уравнение для стоксовой волны описывает последовательный переход от СР на поперечных оптических фононах.

В § 1 настоящей работы результаты [1] используются для определения эффективного источника флуктуаций в эффективном уравнении для Фурье-амплитуды стоксовой волны.

Полученное эффективное уравнение описывает ВКРП по всей области  $\omega_2, \vec{K}_2$ , включая резонанс. Его решение проведено в § 2. В результате получена формула, определяющая частотно-угловое распределение мощности света во всей области  $\omega_2, \vec{K}_2$ .

В ходе расчета получено также общее выражение для коэффициента усиления. Для нерезонансной и резонансной области из него следуют результаты [2]. Все рассмотренное проведено в предположении прозрачности среды на частотах стоксовой волны— $\omega_1$  и накачки— $\omega_3$ . Накачка аппроксимируется линейно-поляризованной монохроматической волной.

### § 1. Уравнение для Фурье-амплитуды стоксовой волны. Эффективный источник флуктуации

Будем предполагать, что усиливающая (нецентросимметрическая) среда конечна по оси  $X$  (простирается от  $x=0$  до  $x=l$ ) и бесконечна по осям  $Y$  и  $Z$ . Вдоль оси  $X$  распространяется волна накачки

$$\vec{E}_3(\vec{r}, t) = \vec{e}_3 E_3 e^{-i\omega_3 t + ik_3 x} + \text{к. с.} \quad (1)$$

Для отрицательночастотного оператора стоксова поля  $\vec{E}_1^+(\vec{r}, t)$  и положительночастотного оператора поляритонного поля  $\vec{E}_2(\vec{r}, t)$  используем следующие представления:

$$\vec{E}_1^+(\vec{r}, t) = \int_0^{\infty} \frac{d\omega_1}{2\pi} \int \frac{d\vec{k}_{1T}}{(2\pi)^2} \vec{e}_1 E_1^+(-\omega_1, -\vec{k}_{1T}, x) e^{i(\omega_1 t - \vec{k}_{1T} \vec{r}_T) - ik_{1x} x},$$

$$\vec{E}_2(\vec{r}, t) = \int_0^{\infty} \frac{d\omega_2}{2\pi} \int \frac{d\vec{k}_{2T}}{(2\pi)^2} \vec{e}_2 E_2(\omega_2, \vec{k}_{2T}, x) e^{i(\omega_2 t - \vec{k}_{2T} \vec{r}_T) + ik_{2x} x}. \quad (2)$$

Здесь

$$k_{2x} = k_3 - k_{1x}, \quad \vec{k}_T = \{k_y; k_z\}, \quad \vec{r}_T = \{y, z\}. \quad (3)$$

Уравнения для  $\vec{E}_1^+(\vec{r}, t)$  и  $\vec{E}_2(\vec{r}, t)$  имеют вид

$$\frac{\partial^2 \widehat{\vec{E}}_1^+(\vec{r}, t)}{\partial t^2} - c^2 \Delta \vec{E}_1^+ = -4\pi \frac{\partial^2}{\partial t^2} (\vec{P}_1^{(\text{нл. инд.})} + \vec{P}_1^{(\text{нл. ист.})}), \quad (4)$$

$$\frac{\partial^2 \widehat{\vec{E}}_2(\vec{r}, t)}{\partial t^2} - c^2 \Delta \vec{E}_2(\vec{r}, t) = -4\pi \frac{\partial^2}{\partial t^2} (\vec{P}_2^{(\text{нл. инд.})} + \vec{P}_2^{(\text{ист.})}). \quad (5)$$

При определении правых частей (4) и (5) были использованы результаты работы [1]. Индуцированные части нелинейной поляризации— $P_{1,2}^{(\text{нл. инд.})}$  содержат квадратичный и кубический вклады

$$P_1^{(\text{нл. инд.})}(-\omega_1, -\vec{k}_{1T}, x) = \chi E_3^* E_2(\omega_2, -\vec{k}_{1T}, x) + \gamma_1 |E_3|^2 E_1^+(-\omega_1, -\vec{k}_{1T}, x),$$

$$P_2^{(\text{нл. инд.})}(\omega_2, -\vec{k}_{1T}, x) = \chi E_3 E_1^+(-\omega_1, -\vec{k}_{1T}, x). \quad (6)$$

Здесь

$$\begin{aligned}\omega_2 &= \omega_3 - \omega_1, \quad \vec{k}_{2T} = -\vec{k}_{1T}, \quad \chi = \chi_{\alpha\beta\gamma}(\omega_2, -\omega_3) e_{1\alpha} e_{2\beta} e_{3\gamma}, \\ \chi_{\alpha\beta\gamma}(\omega_2, -\omega_3) &= \chi_{\beta\alpha\gamma}(-\omega_1, \omega_3), \\ \Upsilon_1 &= \Upsilon_{\alpha\beta\gamma\sigma}(-\omega_1, \omega_3, -\omega_3) e_{1\alpha} e_{1\beta} e_{3\gamma} e_{3\sigma},\end{aligned}$$

$\chi_{\alpha\beta\gamma}$ ,  $\Upsilon_{\alpha\beta\gamma\sigma}$  — соответственно тензоры квадратичной и кубической поляризуемости,  $\vec{e}_1, \vec{e}_2, \vec{e}_3$  — единичные векторы вдоль  $\vec{E}_1, \vec{E}_2, \vec{E}_3$ .

В выражении  $P_2^{(нл. инд.)}$  мы пренебрегли вкладом от кубической восприимчивости —  $\Upsilon_2 |E_3|^2 E_2$ . Учет этого члена дает пренебрежимо малую поправку<sup>1</sup>. Вклад от источника флуктуаций в нелинейную поляризацию в (4) имеет вид (см. [1]):

$$P_1^{(нл. инд.)}(-\omega_1, -\vec{k}_{1T}, x) = \frac{4\pi\chi'' E_3^*}{\epsilon_2''} P^{(ист.)}(\omega_2, -\vec{k}_{1T}, x), \quad (7)$$

где  $\epsilon_2'' = \epsilon''(\omega_2)$  — мнимая часть диэлектрической проницаемости  $P^{(ист.)}$  — источник флуктуаций поляризации среды.

Поскольку среда предполагается прозрачной на  $\omega_1$ , мы пренебрегли в (4) источником  $P_1^{(ист.)}$  а в (3) — вкладом от  $P_2^{(нл. ист.)}$ .

Используя (2) и (3), (6) и (7), из (4) и (5), пренебрегая

$$\frac{\partial^2}{\partial x^2} E_1^+(-\omega_1, -\vec{k}_{1T}, x), \quad \frac{\partial^2}{\partial x^2} E_2(\omega_2, -\vec{k}_{1T}, x),$$

получаем

$$\begin{aligned}\left(\frac{\partial}{\partial x} + \lambda_1\right) E_1^+(-\omega_1, -\vec{k}_{1T}, x) - \alpha_1 E_2 &= F_1^{(ист.)}, \\ \left(\frac{\partial}{\partial x} + \lambda_2\right) E_2(\omega_2, -\vec{k}_{1T}, x) - \alpha_2 E_1^+ &= F_2^{(ист.)},\end{aligned} \quad (8)$$

где

$$\lambda_1 = -\frac{2\pi\omega_1^2 |E_3|^2}{k_{1x}c^2} \Upsilon_1'', \quad \alpha_1 = -\frac{i2\pi\omega_1^2}{k_{1x}c^2} \chi E_3^*,$$

$$F_1^{(ист.)} = -\frac{8\pi^2\omega_1^2 \chi'' E_3^*}{k_{1x}c^2 \epsilon_2''} P^{(ист.)}(\omega_2, -\vec{k}_{1T}, x),$$

$$\lambda_2 = \frac{i(k_2^2 c^2 - \omega_2^2 \epsilon_2)}{2k_{2x}c^2}, \quad \alpha_2 = \frac{i2\pi\omega_2^2 \chi E_3}{k_{2x}c^2},$$

$$F_2^{(ист.)} = \frac{i2\pi\omega_2^2}{k_{2x}c^2} P^{(ист.)}(\omega_2, -\vec{k}_{1T}, x).$$

Вдали от резонанса левые части (8) соответствуют обычной системе укороченных уравнений для Фурье-амплитуд [2]. Уравнения (8) содержат в себе описание также и резонансного случая. В окрестности резонанса  $E_2$  сильно затухает, так что на расстояниях  $\delta x$  таких, что  $1/\lambda_2^1 \ll \delta x \ll 1/g$  ( $g$  — коэффициент усиления), поле  $E_2$  «подстраивает»

<sup>1</sup> Отметим, что при учете кубической восприимчивости  $\Upsilon_2$  в формуле (6) в выражении для  $\lambda_2$  следует произвести замену  $\epsilon_2 \rightarrow \epsilon_2 + 4\pi\Upsilon_2 |E_3|^2$ . Оценки показывают, что  $4\pi\Upsilon_2 |E_3|^2 / \epsilon_2 \approx 10^4 (erE/\hbar\omega)^2 \ll 1$  (здесь  $\omega$ ,  $er$  — характерные частота перехода и дипольный момент электрона в кристалле).

ся» под  $E_1^+$  и  $F_2^{(нст.)}$ . Таким образом, при вычислении коэффициента усиления и выходной мощности вблизи резонанса  $E_2$  можно считать находящимися «в равновесии» (на пространственном языке) с  $E_1^+$  и  $F_2^{(нст.)}$  и пренебрегать не только второй, но и первой производной  $E_2$  по координате. В этом случае уравнение для  $E_2$  в (8) приобретает вид

$$E_2(\omega_2, -\vec{k}_{1T}, x) = \frac{\alpha_2 E_1^+ + F_2^{(нст.)}}{\lambda_2}. \quad (8')$$

Уравнения (8) симметричны по отношению к операторам  $E_1^+$  и  $E_2$ . В дальнейшем мы ограничимся рассмотрением усиления на стоксовой частоте  $\omega_1$ . Исключая поэтому из (8)  $E_2$ , получаем уравнение для Фурье-амплитуды стоксова поля (индекс 1 у оператора  $E_1^+$  в дальнейшем будем опускать)

$$\left[ \left( \frac{\partial}{\partial x} + \lambda_1 \right) \left( \frac{\partial}{\partial x} + \lambda_2 \right) - \alpha^2 \right] E^+ = F^{(нст.)},$$

$$\alpha^2 = \frac{4\pi^2 \omega_1^2 \omega_2^2 \chi^2 |E_3|^2}{c^4 k_{1x} k_{2x}}, \quad (9)$$

где

$$F^{(нст.)} = \hat{\mathcal{L}}_x P^{(нст.)}(\omega_2, -\vec{k}_{1T}, x),$$

$$\hat{\mathcal{L}}_x = b + d \left( \lambda_2 + \frac{\partial}{\partial x} \right),$$

$$b = \frac{4\pi^2 \omega_1^2 \omega_2^2 \chi E_3^*}{k_{1x} k_{2x} c^2}, \quad d = -\frac{i8\pi^2 \omega_1^2 \chi'' E_3^*}{k_{1x} c^2 \epsilon_2''}. \quad (10)$$

Используя для спектральной функции  $(PP)_{\omega_2, \vec{k}_2}^{(нст.)}$  выражение из работы [1], находим пространственно-частотную спектральную функцию эффективного источника

$$(FF)_{-\omega_1, -\vec{k}_{1T}, x-x'}^{(нст.)} = \frac{\hbar \epsilon_2''}{2\pi} (n_2 + 1) \hat{\mathcal{L}}_x \hat{\mathcal{L}}_x^* \delta(x - x'). \quad (11)$$

При выводе (11) мы пренебрегли зависимостью среднего числа фононов  $n_{\vec{k}_2}$  от  $\vec{k}_2$ , положив  $\vec{n}_{\vec{k}_2} = n_2 = \text{const}$ . Это оправдано, поскольку частота длинноволнового поперечного оптического фотона слабо зависит от его волнового вектора (см., например, [5, 6]).

## § 2. Частотно-угловое распределение мощности света на выходе из среды. Коэффициент усиления

Решение уравнения (9) состоит из двух статистически независимых частей

$$E^+(-\omega_1, -\vec{k}_{1T}, l) = E_{(гр)}^+ + E_{(нст.)}^+, \quad (12)$$

где  $E_{(гр)}^+$  определяется граничными условиями (ср. [2])

$$E_{(гр)}^+ = \frac{1}{q_1 - q_2} [E_{20} \alpha_1 (e^{q_2 l} - e^{q_1 l}) + E_{10}^+ ((q_2 + \lambda_1) e^{q_1 l} - (\lambda_1 + q_1) e^{q_2 l})]. \quad (13)$$

Здесь

$$q_{1,2} = -\frac{1}{2}(\lambda_1 + \lambda_2 \pm \sqrt{(\lambda_1 - \lambda_2)^2 + 4\alpha^2}), \quad (14)$$

$$E_{10}^+ = E_1(-\omega_1, -\vec{k}_{1T,0}), \quad E_{20} = E_2(\omega_2, -\vec{k}_{1T,0})$$

флуктуационные поля, создаваемые на границе  $x=0$  пространством вне усиливающего слоя (мы предполагаем, как и в [2], что слой помещен в безграничную среду с теми же характеристиками, однако в ней отсутствуют нелинейность и поглощение на  $\omega_2$ ).

Часть поля, определяемая источниками в слое, имеет вид

$$E_{(\text{ист})}^+ = \frac{1}{q_1 - q_2} \int_0^l d\xi (e^{q_1(l-\xi)} - e^{q_2(l-\xi)}) F^{(\text{ист})}(\xi). \quad (15)$$

В дальнейшем нам потребуется спектральная функция  $(E^+E)_{-\omega_1, -\vec{k}_{1T,0}}^{(\text{гр})}$ . Она, как это видно из (13), выражается через  $(E_2E_2^+)_{\omega_2, \vec{k}_{2T,0}}$ , при этом мы учли, что

$$\vec{k}_{2T} = -\vec{k}_{1T}, \quad (E_{20}^+E_{10}) = (E_{10}^+E_{20}) = 0, \quad (E_{10}^+E_{10}) \approx 0.$$

Спектральная функция  $(E_2E_2^+)_{\omega_2, \vec{k}_2}$  для области прозрачности имеет вид [1]

$$(E_2E_2^+)_{\omega_2, \vec{k}_2} = 8\pi^2 \hbar \omega_2^2 \delta(\omega_2^2 \varepsilon_2' - k_{2x}^2 c^2).$$

Отсюда получаем

$$(E_2E_2^+)_{\omega_2, \vec{k}_{2T,0}} = \frac{1}{2\pi} \int_0^\infty dk_{2x} (E_2E_2^+)_{\omega_2, \vec{k}_{2T}} \frac{2\pi \hbar \omega_2^2}{c^2 k_{2x}}, \quad (16)$$

где

$$k_{2x} = \left( \frac{\omega_2^2 \varepsilon_2'}{c^2} - k_{2T}^2 \right)^{1/2}.$$

Используя (11) и (16), из (12) — (15) получим спектральную функцию стоксова поля на выходе из усиливающего слоя

$$\begin{aligned} (E^+E)_{-\omega_1, -\vec{k}_{1T,l}} &= (E^+E)^{(\text{гр})} + (E^+E)^{(\text{ист})} = \frac{\hbar k_{2x} c^2 |b|^2}{2\pi \omega_2^2} \frac{|e^{q_2 l} - e^{q_1 l}|^2}{|q_1 - q_2|^2} + \\ &+ \frac{\hbar \varepsilon_2''}{2\pi} \frac{(n_2 + 1)}{|q_1 - q_2|^2} \left\{ \frac{e^{2q_1' l} - 1}{2q_1'} |b + d(\lambda_2 + q_1)|^2 + \frac{e^{2q_2' l} - 1}{2q_2'} |b + d(\lambda_2 + q_2)|^2 - \right. \\ &\left. - 2 \operatorname{Re} \frac{e^{(q_1 + q_2^*) l} - 1}{q_1 + q_2^*} (b + d(\lambda_2 + q_1)) (b^* + d^*(\lambda_2^* + q_2^*)) \right\}. \quad (17) \end{aligned}$$

Здесь  $b$  и  $d$  задаются формулами (10).

Спектральная функция  $(E^+E)_{-\omega_1, -\vec{k}_{1T,l}}$  вычислялась в работе [2]<sup>1</sup> при условии, что  $\omega_2$  далека от фонованного резонанса. Результаты [2] по-

<sup>1</sup>  $(E^+E)$  связана с функцией  $\varphi$  работы [2] соотношением  $(E^+E) = (2\pi)^3 \varphi$ .

лучаются из формулы (17), если в ней положить  $d=0$ . Дополнительные члены, определяемые  $d$ , являются доминирующими в резонансной области. Величину

$$g = 2q_1 = \text{Re}(-\lambda_1 - \lambda_2 + \sqrt{(\lambda_1 - \lambda_2)^2 + 4\alpha^2}) \quad (18)$$

можно интерпретировать как коэффициент усиления. Явное выражение для  $g$ , получаемое из (18), имеет вид

$$g = -(\lambda_1 + \lambda_2) + \frac{1}{2^{1/2}} ((A^2 + B^2)^{1/2} + |A|)^{1/2}. \quad (19)$$

Здесь

$$A = (\lambda_1 - \lambda_2')^2 - (\lambda_2'')^2 + 4(\alpha^2)',$$

$$B = 2(\lambda_2' - \lambda_1)(\lambda_2'')^2 - 4(\alpha^2)''.$$

Выражение (19) задает коэффициент усиления во всей области  $\omega_2, k_2$ . Можно показать, что вдали от резонанса из (19) следуют известные результаты [2]. Для этого проще исходить непосредственно из (18). В резонансной области  $\lambda_2 \gg \lambda_1, 2\alpha$ , и из (18), используя явное выражение для  $\lambda_1, \alpha^2, \lambda_2$ , получаем<sup>1</sup>

$$g = \frac{4\pi\omega_1^2 |E_3|^2}{k_{1x}c^2} \left\{ \frac{4\pi\epsilon_2''\omega_2^4}{|k_2^2c^2 - \omega_2^2\epsilon_2|^2} \left( (\chi^2)' + (\chi^2)'' \frac{k_2^2c^2 - \epsilon_2'\omega_2^2}{\omega_2^2\epsilon_2''} \right) + \gamma_1'' \right\}. \quad (20)$$

Перейдем к определению частотно-углового распределения мощности света на выходе из усиливающего слоя. Из (2) следует, что при фиксированном  $|\vec{k}_1|$ ,

$$\begin{aligned} (E^+E)_{-\omega_1, \vec{r}} &= \frac{1}{2\pi} \int \frac{d\vec{k}_{1T}}{(2\pi)^2} (E^+E)_{-\omega_1, -\vec{k}_{1T}, l} = \\ &= \frac{k_1^2}{(2\pi)^3} \int d\Omega_{\perp} \cos \theta_1 (E^+E)_{-\omega_1, -\vec{k}_{1T}, l} \equiv \int d\Omega_1 (E^+E)_{-\omega_1, \vec{r}}^{(\vec{s}_1)} \end{aligned} \quad (21)$$

(здесь мы использовали  $\vec{r} \{l, y, z\}$ ,  $\sin \theta_1 = \frac{(k_1^2 - k_{1x}^2)^{1/2}}{k_1}$  и  $d\vec{k}_{1T} = dk_{1y}dk_{1z} = k_1^2 \cos \theta_1 d\Omega_1$ ,  $d\Omega_1 = \sin \theta_1 d\theta_1 d\varphi$  (см. рис.)).

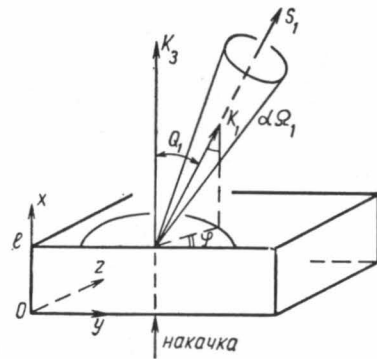
Подынтегральное выражение в (21)  $-(E^+E)^{(\vec{s}_1)}$  представляет собой вклад тех волн, которые распространяются в направлении  $\vec{S}_1 = \frac{\vec{k}_1}{|\vec{k}_1|}$  в телесном углу  $d\Omega_1$ . Таким образом, мощность света,

испускаемая 1 ед. поверхности  $x=l$  в направлении  $\vec{S}_1$ , в единичные спектральный  $d\omega$  и угловой  $d\Omega_1$  интервалы равна

$$W_{\vec{S}_1, \omega_1} = 2 \frac{(E^+E)_{-\omega_1, \vec{r}}^{(\vec{s}_1)} \sqrt{\epsilon_1} c}{4\pi} = \frac{k_1^2 \cos \theta_1 c \sqrt{\epsilon_1}}{(2\pi)^4} (E^+E)_{-\omega_1, -\vec{k}_{1T}, l}, \quad (22)$$

где  $(E^+E)_{-\omega_1, -\vec{k}_{1T}, l}$  задается формулой (17).

<sup>1</sup> Формулу (20) можно легко получить из (8), если там для  $E_2$  сразу использовать приближенное уравнение (8').



Рассмотрим подробнее выражение для  $W_{S_1, \omega_1}$  в резонансной области  $\omega_2 \approx \omega_i$ ;  $\omega_i$  — частота поперечного фонона. В формуле (17)  $(E^+E)^{(rp)} \sim \sim g / \frac{\varepsilon_2 \omega_2^2}{k_2 x c^2} (E^+E)^{(нст.)}$ . В окрестности резонанса  $2|q_2'| \approx \frac{\varepsilon_2'' \omega_2^2}{k_2 x c^2} \gg 2q_1' = g$ . Поэтому в (17) можно пренебречь  $(E^+E)^{(rp)}$ , а также вторым и третьим членом в фигурных скобках.

Используя выражения для  $b$  и  $d$  — (10), из (17) и (22) получим

$$W_{\vec{S}_1, \omega_1} = \frac{e^{gl} - 1}{gl} \left\{ \frac{l}{\cos \theta_1} \frac{\omega_1^4 \sqrt{\varepsilon_1'} |E_3|^2}{4\pi^2 c^3} \times \right. \\ \left. \times \left[ (\delta E \delta E)_{\omega_2, k_2} \rightarrow \left( (\chi^2)' + (\chi^2)'' \frac{k_2^2 c^2 - \varepsilon_2' \omega_2^2}{\varepsilon_2'' \omega_2^2} \right) + 8\pi \hbar \frac{\chi''^2}{\varepsilon_2''} (n_2 + 1) \right] \right\}, \quad (23)$$

где мы ввели обозначение для спектральной функции поляритонов (см. [1])

$$(\overrightarrow{\delta E \delta E})_{\omega_2, k_2} \rightarrow = \frac{8\pi \hbar \varepsilon_2'' \omega_2^4}{|\omega_2^2 \varepsilon_2 - k_2^2 c^2|^2} (n_2 + 1).$$

Коэффициент усиления  $g$  в (23) задается формулой (20). Выражение в фигурных скобках представляет собой мощность, спонтанно излучаемую при рассеянии на поляритонах 1 ед. поверхности  $x=l$  в направлении  $\vec{S}_1$  (см. [1]).

При больших значениях  $\vec{k}_2$  ( $|\vec{k}_2| \gg 10^5 \text{ см}^{-1}$ ) вклад члена с  $(\overrightarrow{\delta E \delta E})_{\omega_2, k_2} \rightarrow$  в  $W_{\vec{S}_1, \omega_1}$ , а также в  $g$  (см. (20)) пренебрежимо мал. Второй же член в фигурных скобках с (23), как показано в [1], дает мощность, спонтанно рассеиваемую на поперечных оптических фононах. Для коэффициента  $g$  из (20) в этом случае имеем

$$g = \frac{4\pi \omega_1 |E_3|^2}{c \sqrt{\varepsilon_1'} \cos \theta_1} \gamma_1',$$

что совпадает с результатами работ по комбинационному рассеянию на фононах [4, 3].

Таким образом, формула (23) в резонансной области описывает последовательный переход от ВКР на поляритонах к ВКР на поперечных оптических фононах.

#### ЛИТЕРАТУРА

1. Емельянов В. И., Климонтович Ю. Л. ЖЭТФ, 63, вып. 2, 1972.
2. Стрижевский В. Л., Обуховский В. В., Понат Г. Э. ЖЭТФ, 61, 537, 1971.
3. Стрижевский В. Л., Обуховский В. В., Понарин А. М. ЖЭТФ, 59, 1667, 1970.
4. Луговой В. И. Введение в теорию вынужденного комбинационного рассеяния. М., 1968.
5. Слэтер Д. Диэлектрики, полупроводники, металлы. М., 1969.
6. Von Foerster T., Glauber R. I. Phys. Rev., A3, 1484, 1971.

Поступила в редакцию  
28.1 1972 г.

Кафедра  
общей физики для мехмата